



Laboratorium EMVO Sp. J. Urbański, Pawelak
ul. Jasna 1
00-013 Warszawa

tel. +48 22 780 29 64

e-mail: laboratorium@emvo.pl



AB 1630

Sprawozdanie z pomiarów pól elektromagnetycznych - środowisko nr 144/06/OŚ/2023– P4-W



Nr i nazwa stacji	KIE1061A	
Adres	Kielce, Wojciecha Szczepaniaka 29, pow. Kielce, woj. świętokrzyskie	
Opracowanie	Justyna Karczmarczyk	Specjalista ds. pomiarów
Autoryzacja	Andrzej Urbański	Kierownik Laboratorium
Podpis		
Data	2023-06-30	

Spis treści

1. Informacje ogólne.....	3
2. Podstawa prawna.	3
3. Opis pomiarów	3
4. Zróżnicowanie dopuszczalne poziomy pól elektromagnetycznych.	5
5. Charakterystyka źródeł PEM.	5
6. Wyniki pomiarów.....	5
7. Stwierdzenie zgodności.....	7
8. Oświadczenie.....	8
9. Spis załączników.	9

1. Informacje ogólne.

Zleceniodawca	P4 sp. z o.o., ul. Wynałazek 1, 02-677 Warszawa osoba udzielająca informacji- Monika Bieroza
Istotne informacje dostarczone przez klienta	komplet informacji niezbędnych do wykonania pomiarów i opracowania sprawozdania
Dane otrzymane od klienta mogące mieć wpływ na ważność wyników	Dane anten sektorowych, dane anten radioliniowych, parametry pracy instalacji, ustawienie pochylenia anten
Prowadzący instalację	P4 sp. z o.o., ul. Wynałazek 1, 02-677 Warszawa
Lokalizacja obiektu	Kielce, Wojciecha Szczepaniaka 29, pow. Kielce, woj. świętokrzyskie
Miejsce instalacji anten	Dach budynku
Miejsce instalacji urządzeń	Outdoor
Osoby wykonujące pomiar	Wojciech Kaczorek
Data wykonania pomiaru	30.06.2023
Temperatura na początku pomiaru [°C]	23,0
Temperatura na koniec pomiaru [°C]	23,0
Warunki atmosferyczne	Brak opadów
Wilgotność na początku pomiaru [%]	52,0
Wilgotność na koniec pomiaru [%]	52,0
Godzina na początku pomiaru	8:53
Godzina na koniec pomiaru	11:20
Inne źródła pól elektromagnetycznych oznaczone na załączniku graficznym	Nie występują
Parametry pracy instalacji	Tryb eksploatacyjny

2. Podstawa prawna.

2.1 Normy i rozporządzenia:

- Obwieszczenie Ministra Klimatu i Środowiska z dnia 21 listopada 2022 r. w sprawie ogłoszenia jednolitego tekstu rozporządzenia Ministra Klimatu w sprawie sposobów sprawdzania dotrzymania dopuszczalnych poziomów pól elektromagnetycznych w środowisku (Dz.U. 2022 poz. 2630)
- Rozporządzenie Ministra Zdrowia z dnia 17 grudnia 2019 r. w sprawie dopuszczalnych poziomów pól elektromagnetycznych w środowisku (Dz.U. 2019 poz. 2448)
- Obwieszczenie Marszałka Sejmu Rzeczypospolitej Polskiej z dnia 1 grudnia 2022 r. w sprawie ogłoszenia jednolitego tekstu ustawy - Prawo ochrony środowiska (Dz.U. 2022 poz. 2556).

3. Opis pomiarów

Metodologia pomiarowa	Pomiary w oparciu o Rozporządzenie Ministra Klimatu z dnia 17 lutego 2020 r. w sprawie sposobów sprawdzania dotrzymania dopuszczalnych poziomów pól elektromagnetycznych w środowisku (Dz.U. 2022 poz. 2630).
Cel badań	Określenie wartości natężenia pola elektrycznego w miejscach dostępnych dla ludności.
Opis zestawu pomiarowego	Miernik Narda NBM 520, Sonda EF 9091, o zakresie pomiarowym 0,7 V/m - 400V/m pracująca w paśmie 0,1 – 90 GHz, świadectwo wydane przez Laboratorium Wzorców i Metrologii Pola Elektromagnetycznego, Instytut Telekomunikacji, Teleinformatyki i Akustyki Politechniki Wrocławskiej. Świadectwo ważne do 13.07.2023r. Miernik Narda NBM 520, Sonda EF 9091 pracująca w zakresie temperatury -10°C - +50°C oraz wilgotności 5% - 95%. Niepewność rozszerzona 59,4% przy poziomie ufności 95% z uwzględnieniem współczynnika rozszerzenia k=2.
Wyposażenie pomocnicze	Termohigrometr Termoprodukt, typ: Termik+, Nr. inwentarzowy 44/WL, nr identyfikacyjny 1540619, świadectwo wzorcowania nr 0393/AH/20 z dn. 02.03.2020 r. wydane przez Laboratorium Pomiarowe "MUTECH". Dalmierz laserowy BOSH GLM 40, Nr. inwentarzowy 47/WL, nr seryjny 909411542, Świadectwo wzorcowania L4-L41.4180.29.2020.784.1 z dnia 02 czerwca 2020 wydane przez Pracownia Długości Samodzielnego Laboratorium Długości w Głównym Urzędzie Miar. GPS Garmin 64s okresowo sprawdzany w punktach osnowy geodezyjnej klasy 3 na podstawie licencji punktu, zgodnie z procedurą sprawdzeń okresowych IS/PO16-11/03.
Pomiary zostały wykonane	<ol style="list-style-type: none">1. na głównych i pomocniczych kierunkach pomiarowych, na kierunkach zbliżonych do azymutów anten oraz w dodatkowych pionach pomiarowych zgodnie z wymaganiami pkt 12, 13, 14 i 19 Rozporządzenia Ministra Klimatu z dnia 17 lutego 2020 r. (Dz.U. 2022 poz. 2630).2. na obszarze pomiarowym, dla którego, na podstawie uprzednio przeprowadzonych obliczeń stwierdzono w miejscach dostępnych dla ludności występowanie pól elektromagnetycznych o najwyższym poziomie, które pochodzą z badanej instalacji zgodnie z wymaganiami pkt 5 ppkt 2 oraz pkt 13 ppkt 1 Rozporządzenia Ministra Klimatu z dnia 17 lutego 2020 r. w sprawie sposobów sprawdzania dotrzymania dopuszczalnych poziomów pól elektromagnetycznych w środowisku (Dz.U. 2022 poz. 2630). Wyniki obliczeń nie uwzględniały parametrów pracy instalacji innych operatorów występujących na obiekcie bądź w obszarze pomiarowym.3. w miejscach dostępnych dla ludności.4. miejsca niedostępne podczas wykonywania pomiarów wskazane zostały w pkt 6 (tabeli wyniki pomiarów)
Szczególne warunki podczas wykonywania pomiarów	Pomiary wykonane zostały podczas obowiązywania w kraju stanu zagrożenia epidemicznego, zgodnie z art. 122a ust. 1b Ustawy z dnia 27 kwietnia 2001 r. – Prawo ochrony środowiska (Dz. U. z 2019 r. poz. 1396, z późn. zm.9)).
Warunki pracy urządzeń nadawczych	Tryb pracy eksploatacyjny.

4. Zróżnicowanie dopuszczalne poziomych pól elektromagnetycznych.

Zakresy znajdują się w Dzienniku Ustaw z dnia 17 grudnia 2019 r. przedstawione są w tabeli nr 2 (Dz. U. z 2019r. poz. 2448).

Parametr fizyczny	Składowa elektryczna E (V/m)	Składowa magnetyczna H (A/m)	Gęstość mocy S (W/m ²)
Zakres Częstotliwości pola elektromagnetycznego			
od 400 MHz do 2000 MHz	$1,375 \times f^{0,5}$	$0,0037 \times f^{0,5}$	f / 200
od 2 GHz do 300 GHz	61	0,16	10

5. Charakterystyka źródeł PEM.

Zgodnie z informacją otrzymaną od Klienta pomiary zostały wykonane przy ustawieniach pochylenia anten zgodnych z pkt. 13, ppkt 2 Rozporządzenia Ministra Klimatu z dnia 17 lutego 2020 roku.

Tabela 1. Anteny sektorowe - dane otrzymane od klienta

Charakterystyka promieniowania		kierunkowa							
Rzeczywisty czas pracy [h/dobę]		24							
Rodzaj wytwarzanego pola		stacjonarne							
Lp	Wyszczególnienie	sektor 1							
I Nadajnik stacji bazowej:									
1	Typ / Producent	RBS / SRAN Ericsson							
2	Częstotliwość (pasmo) MHz	900	800	2600	2100	1800	2600	2100	1800
3	Maksymalna moc nadawana na sektor [dBm]	47,78	49,03	49,03	50	50	49,03	50	50
II Obciążenie:									
1	Typ anteny	Huawei AMB4519R0		Huawei AMB4520R0			Huawei AMB4520R0		
2	Producent anteny	Huawei		Huawei			Huawei		
3	Nazwa anteny	11_GTV	11_GTV	12_HL	12_HL	12_HL	13_HN	13_HN	13_HN
4	Ilość anten	1		1			1		
5	Azymut	59							
6	Zakres kątów pochylenia anten [°]	0,00-10,00							
7	Wysokość zainst. n.p.t. [m]	24,00							
8	EIRP [W]	6736		15078			15078		

Charakterystyka promieniowania		kierunkowa																
Rzeczywisty czas pracy [h/dobę]		24																
Rodzaj wytwarzanego pola		stacjonarne																
Lp	Wyszczególnienie	sektor 2					sektor 3											
I Nadajnik stacji bazowej:																		
1	Typ / Producent	RBS / SRAN Ericsson																
2	Częstotliwość (pasmo) MHz	900	800	2600	2100	1800	2600	2100	1800	900	800	2600	2100	1800	2600	2100	1800	
3	Maksymalna moc nadawana na sektor [dBm]	47,78	49,03	49,03	50	50	49,03	50	50	47,78	49,03	49,03	50	50	49,03	50	50	
II Obciążenie:																		
1	Typ anteny	Huawei AMB4519R0		Huawei AMB4520R0			Huawei AMB4520R0			Huawei AMB4519R0		Huawei AMB4520R0			Huawei AMB4520R0			
2	Producent anteny	Huawei		Huawei			Huawei			Huawei		Huawei			Huawei			
3	Nazwa anteny	21_GTV	21_GTV	22_H L	22_H L	22_H L	23_H N	23_H N	23_H N	21_GTV	21_GTV	22_H L	22_H L	22_H L	23_H N	23_H N	23_H N	
4	Ilość anten	1		1			1			1		1			1			
5	Azymut	129					189											
6	Zakres kątów pochyleń anten [°]	0,00-10,00					0,00-10,00											
7	Wysokość zainst. n.p.t. [m]	24,00					24,00											
8	EIRP [W]	6736		15078			15078			6736		15078			15078			

Charakterystyka promieniowania		kierunkowa																			
Rzeczywisty czas pracy [h/dobę]		24																			
Rodzaj wytwarzanego pola		stacjonarne																			
Lp	Wyszczególnienie	sektor 4					sektor 5														
I Nadajnik stacji bazowej:																					
1	Typ / Producent	RBS / SRAN Ericsson																			
2	Częstotliwość (pasmo) MHz	800		2600		2100		1800		900		900		800		2600		2100		1800	
3	Maksymalna moc nadawana na sektor [dBm]	52,04		52,04		53,01		53,01		47,78		47,78		49,03		49,03		50		50	
II Obciążenie:																					
1	Typ anteny	Huawei ADU4516R6		Huawei ADU4521R0		Huawei ATR4518R6			Huawei AMB4519R0		Huawei AMB4520R0			Huawei AMB4520R0							
2	Producent anteny	Huawei		Huawei		Huawei			Huawei		Huawei			Huawei							
3	Nazwa anteny	31_V		33_H		32_GHL NT		32_GHL NT		32_GHLN T		11_GTV		11_G TV		12_HL		12_H L		12_H L	
4	Ilość anten	1		1		1			1		1			1							
5	Azymut	272					359														
6	Zakres kątów pochyleń anten [°]	0,00-10,00		0,00-6,00		0,00-10,00		0,00-10,00		0,00-10,00		0,00-10,00									
7	Wysokość zainst. n.p.t. [m]	24					24														
8	EIRP [W]	4398		12736		16458			6736		15078			15078							

Tabela 2. Anteny radioliniowe- dane otrzymane od klienta

Charakterystyka promieniowania		kierunkowa					
Rzeczywisty czas pracy [h/dobę]		24					
Rodzaj wytwarzanego pola		stacjonarne					
Lp	Linia radiowa			Antena			
	typ/producent	częstotliwość pracy [GHz]	moc wyjściowa [dBm]	typ/producent	średnica anteny [m]	azymut [°]	wysokość zainstal. [m]
1	OPTIX RTN/HUAWEI	80	18	VHLP2-80/Andrew	0,6	86	22,20

6. Wyniki pomiarów.

Wyniki pomiarów pól elektromagnetycznych dla celów ochrony środowiska przedstawia poniższa tabela. Piony pomiarowe zostały przedstawione w zał. 2.

Nr PP	Pole-E [V/m]	Pole-E, +U [V/m]	Pole-H [A/m]	Pole-H +U [A/m]	Wys. pomiaru [m]	Opis pionu	Uwagi	WM _E	WM _H
1	0,8	1,28	0,002	0,003	0,3-2,0	N:50°51'11,5" E:20°36'50,8"	otoczenie stacji bazowej - 50m wzdłuż gł. osi promieniowania - GKP	0,046	0,046
2	0,7*	1,28	0,002	0,003	0,3-2,0	N:50°51'13,2" E:20°36'50,8"	otoczenie stacji bazowej - 100m wzdłuż gł. osi promieniowania - GKP	0,046	0,046
3	0,7*	1,28	0,002	0,003	0,3-2,0	N:50°51'14,7" E:20°36'51,0"	otoczenie stacji bazowej - 150m wzdłuż gł. osi promieniowania - GKP	0,046	0,046
4	0,7*	1,28	0,002	0,003	0,3-2,0	N:50°51'16,4" E:20°36'50,8"	otoczenie stacji bazowej - 200m wzdłuż gł. osi promieniowania - GKP	0,046	0,046
5	0,7*	1,28	0,002	0,003	0,3-2,0	N:50°51'17,6" E:20°36'50,7"	otoczenie stacji bazowej - 240m wzdłuż gł. osi promieniowania - GKP	0,046	0,046
6	0,8	1,28	0,002	0,003	0,3-2,0	N:50°51'10,7" E:20°36'53,1"	otoczenie stacji bazowej - 50m wzdłuż gł. osi promieniowania - GKP	0,046	0,046
7	0,8	1,28	0,002	0,003	0,3-2,0	N:50°51'11,5" E:20°36'55,4"	otoczenie stacji bazowej - 100m wzdłuż gł. osi promieniowania - GKP	0,046	0,046
8	0,7*	1,28	0,002	0,003	0,3-2,0	N:50°51'12,4" E:20°36'57,5"	otoczenie stacji bazowej - 150m wzdłuż gł. osi promieniowania - GKP	0,046	0,046
9	0,9	1,43	0,002	0,004	0,3-2,0	N:50°51'13,1" E:20°36'59,6"	otoczenie stacji bazowej - 200m wzdłuż gł. osi promieniowania - GKP	0,051	0,052
10	0,9	1,43	0,002	0,004	0,3-2,0	N:50°51'08,9" E:20°36'53,1"	otoczenie stacji bazowej - 50m wzdłuż gł. osi promieniowania - GKP	0,051	0,052
11	0,8	1,28	0,002	0,003	0,3-2,0	N:50°51'07,8" E:20°36'54,7"	otoczenie stacji bazowej - 100m wzdłuż gł. osi promieniowania - GKP	0,046	0,046
12	0,8	1,28	0,002	0,003	0,3-2,0	N:50°51'06,3" E:20°36'57,8"	otoczenie stacji bazowej - 180m wzdłuż gł. osi promieniowania - GKP	0,046	0,046
13	0,9	1,43	0,002	0,004	0,3-2,0	N:50°51'06,7" E:20°36'50,1"	otoczenie stacji bazowej - 100m wzdłuż gł. osi promieniowania - GKP	0,051	0,052
14	0,9	1,43	0,002	0,004	0,3-2,0	N:50°51'05,1" E:20°36'49,8"	otoczenie stacji bazowej - 150m wzdłuż gł. osi promieniowania - GKP	0,051	0,052
15	0,9	1,43	0,002	0,004	0,3-2,0	N:50°51'03,4" E:20°36'49,2"	otoczenie stacji bazowej - 200m wzdłuż gł. osi promieniowania - GKP	0,051	0,052
16	0,8	1,28	0,002	0,003	0,3-2,0	N:50°51'02,4" E:20°36'48,8"	otoczenie stacji bazowej - 240m wzdłuż gł. osi promieniowania - GKP	0,046	0,046
17	0,7*	1,28	0,002	0,003	0,3-2,0	N:50°51'10,0" E:20°36'47,8"	otoczenie stacji bazowej - 50m wzdłuż gł. osi promieniowania - GKP	0,046	0,046
18	0,7*	1,28	0,002	0,003	0,3-2,0	N:50°51'10,3" E:20°36'45,6"	otoczenie stacji bazowej - 100m wzdłuż gł. osi promieniowania - GKP	0,046	0,046
19	0,7*	1,28	0,002	0,003	0,3-2,0	N:50°51'10,2" E:20°36'43,1"	otoczenie stacji bazowej - 150m wzdłuż gł. osi promieniowania - GKP	0,046	0,046
20	0,7*	1,28	0,002	0,003	0,3-2,0	N:50°51'10,3" E:20°36'40,4"	otoczenie stacji bazowej - 200m wzdłuż gł. osi promieniowania - GKP	0,046	0,046
21	0,7*	1,28	0,002	0,003	0,3-2,0	N:50°51'10,5" E:20°36'38,8"	otoczenie stacji bazowej - 240m wzdłuż gł. osi promieniowania - GKP	0,046	0,046
22	0,9	1,43	0,002	0,004	0,3-2,0	N:50°51'09,9" E:20°36'53,4"	otoczenie stacji bazowej - 50m wzdłuż gł. osi promieniowania - GKP	0,051	0,052
23	0,9	1,43	0,002	0,004	0,3-2,0	N:50°51'10,0" E:20°36'56,0"	otoczenie stacji bazowej - 100m wzdłuż gł. osi promieniowania - GKP	0,051	0,052
24	0,8	1,28	0,002	0,003	0,3-2,0	N:50°51'10,2" E:20°36'58,3"	otoczenie stacji bazowej - 150m wzdłuż gł. osi promieniowania - GKP	0,046	0,046
25	0,7*	1,28	0,002	0,003	0,3-2,0	N:50°51'08,8" E:20°36'47,4"	otoczenie stacji bazowej -PKP	0,046	0,046
26	0,7*	1,28	0,002	0,003	0,3-2,0	N:50°51'10,6" E:20°36'49,6"	otoczenie stacji bazowej -PKP	0,046	0,046
27	0,7*	1,28	0,002	0,003	0,3-2,0	N:50°51'11,7" E:20°36'47,8"	otoczenie stacji bazowej -PKP	0,046	0,046
28	0,7*	1,28	0,002	0,003	0,3-2,0	N:50°51'13,1" E:20°36'53,0"	otoczenie stacji bazowej -PKP	0,046	0,046

A	0,8	1,28	0,002	0,003	0,3-2,0	N:50°51'13,7" E:20°36'59,3"	Petyhorska 25, pomiar przed budynkiem - DPP	0,046	0,046
B	0,8	1,28	0,002	0,003	0,3-2,0	N:50°51'13,2" E:20°37'01,0"	Petyhorska 17, pomiar przed budynkiem - DPP	0,046	0,046
C	0,8	1,28	0,002	0,003	0,3-2,0	N:50°51'10,6" E:20°36'59,5"	Stanisława Żółkiewskiego 12, pomiar przed budynkiem - DPP	0,046	0,046
D	0,8	1,28	0,002	0,003	0,3-2,0	N:50°51'06,3" E:20°36'59,0"	Stanisława Żółkiewskiego 21a, pomiar w otworze wejściowym - DPP	0,046	0,046
E	0,8	1,28	0,002	0,003	0,3-2,0	N:50°51'05,5" E:20°36'58,4"	Stanisława Żółkiewskiego 23, pomiar w otworze wejściowym - DPP	0,046	0,046
F	0,8	1,28	0,002	0,003	0,3-2,0	N:50°51'06,6" E:20°36'57,4"	Stanisława Żółkiewskiego 18, pomiar w otworze wejściowym - DPP	0,046	0,046
G	0,8	1,28	0,002	0,003	0,3-2,0	N:50°51'05,8" E:20°36'50,9"	Stefana Czarnieckiego 1, pomiar w otworze wejściowym - DPP	0,046	0,046
H	0,8	1,28	0,002	0,003	0,3-2,0	N:50°51'06,1" E:20°36'49,2"	Stefana Czarnieckiego 2, pomiar w otworze wejściowym - DPP	0,046	0,046
I	0,9	1,43	0,002	0,004	0,3-2,0	N:50°51'05,6" E:20°36'48,8"	Stefana Czarnieckiego 4, pomiar w otworze wejściowym - DPP	0,051	0,052
J	0,8	1,28	0,002	0,003	0,3-2,0	N:50°51'09,0" E:20°36'49,5"	aleja Na Stadion 1, pomiar przed budynkiem - DPP	0,046	0,046
K	0,8	1,28	0,002	0,003	0,3-2,0	N:50°51'08,3" E:20°36'49,4"	aleja Na Stadion 1, pomiar przed budynkiem - DPP	0,046	0,046

Wynik pomiaru pole - E [V/m] - maksymalna wartość chwilowa zmierzona w danym pionie pomiarowym (uśredniona na podstawie punktu 11 załącznika do Rozporządzenia Ministra Klimatu z dnia 17 lutego 2020 r. w sprawie sposobów sprawdzania dotrzymania dopuszczalnych poziomów pól elektromagnetycznych w środowisku (Dz.U. 2022 poz. 2630)). Zgodnie z pkt. 7 załącznika do Rozporządzenia Ministra Klimatu z dnia 17 lutego 2020 r. w sprawie sposobów sprawdzania dotrzymania dopuszczalnych poziomów pól elektromagnetycznych w środowisku (Dz.U. 2020 poz. 258, Dz.U. 2022 poz. 1121) nie stosuje się poprawek pomiarowych.

Przyjęto najniższą dopuszczalną wartość składowej elektrycznej pola dla objętego pomiarami zakresu częstotliwości $\min(ME_{gr}) = 28 \text{ V/m}$ oraz składowej magnetycznej $\min(MH_{gr}) = 0,073 \text{ A/m}$.

* - wartość zmierzona poniżej zakresu akredytacji. Do obliczeń przyjęto wartość zgodną z dolną granicą akredytowanego zakresu pomiarowego metody.

GKP - główne kierunki pomiarowe

PKP - pomocnicze kierunki pomiarowe

DPP - dodatkowe punkty pomiarowe

PP - pion pomiarowy

U - niepewność pomiarowa rozszerzona, przy poziomie ufności 95%, z uwzględnieniem współczynnika rozszerzenia $k=2$

WM_E - wartość wskaźnikowa poziomu emisji pól elektromagnetycznych dla miejsc dostępnych dla ludności dla składowej elektrycznej pola

WM_H - wartość wskaźnikowa poziomu emisji pól elektromagnetycznych dla miejsc dostępnych dla ludności dla składowej magnetycznej pola

7. Stwierdzenie zgodności

Na podstawie wytycznych podanych w Rozporządzeniu Ministra Zdrowia z dnia 17 grudnia 2019 r. w sprawie dopuszczalnych poziomów pól elektromagnetycznych w środowisku (Dz.U. 2019 poz. 2448) oraz sposobów sprawdzania dotrzymania tych poziomów zgodnie z Rozporządzeniem Ministra Klimatu z dnia 17 lutego 2020 r. w sprawie sposobów sprawdzania dotrzymania dopuszczalnych poziomów pól elektromagnetycznych w środowisku (Dz.U. 2022 poz. 2630), dotyczących źródła wymagań, które muszą być spełnione, w oparciu o zasadę podejmowania decyzji zgodną z pkt. 26 Rozporządzenia Ministra Klimatu z dnia 17 lutego 2020 r. (Dz.U. 2022 poz. 2630), na podstawie wyników pomiarów pól elektromagnetycznych wykonanych w dniu 30.06.2023 stwierdzono, że wszystkie wyniki przeprowadzonych pomiarów w danym obszarze pomiarowym oraz wyznaczone na tej podstawie wskaźniki WME oraz WMH są mniejsze od wartości dopuszczalnych – zgodnie z przepisami wydanymi na podstawie art. 122 ust. 1 ustawy z dnia 27 kwietnia 2001 r. – Prawo ochrony środowiska – załącznikiem do Rozporządzenia Ministra Klimatu i Środowiska z dnia 17 lutego 2020 r. w sprawie sposobów sprawdzania dotrzymania dopuszczalnych poziomów pól elektromagnetycznych w środowisku (Dz.U. 2022 poz. 2630, pkt 26).

8. Oświadczenie.

Wyniki badania odnoszą się wyłącznie do badanego obiektu.

Bez pisemnej zgody sprawozdanie nie może być powielane inaczej, jak tylko w całości.

Uwagi i zastrzeżenia przyjmowane są w formie pisemnej.

9. Spis załączników.

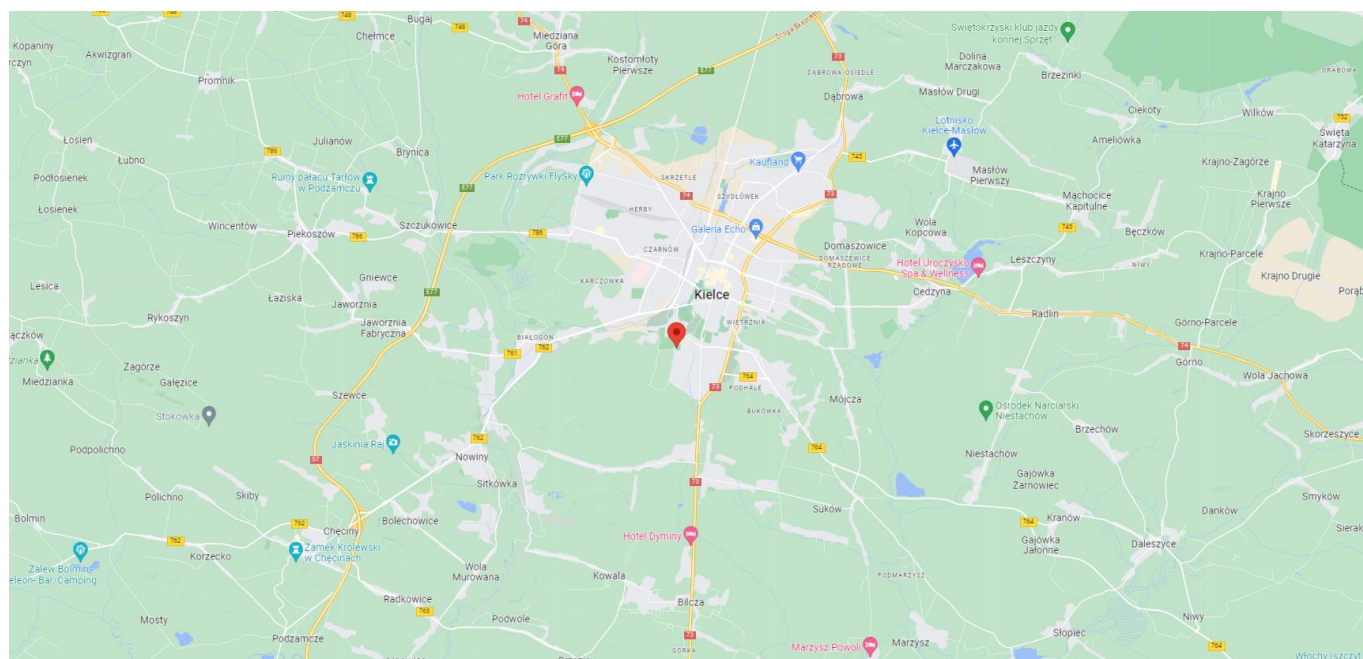
Zał. 1. Lokalizacja obiektu.

Zał. 2. Widok pionów pomiarowych

Zał. 3. Załączniki graficzne

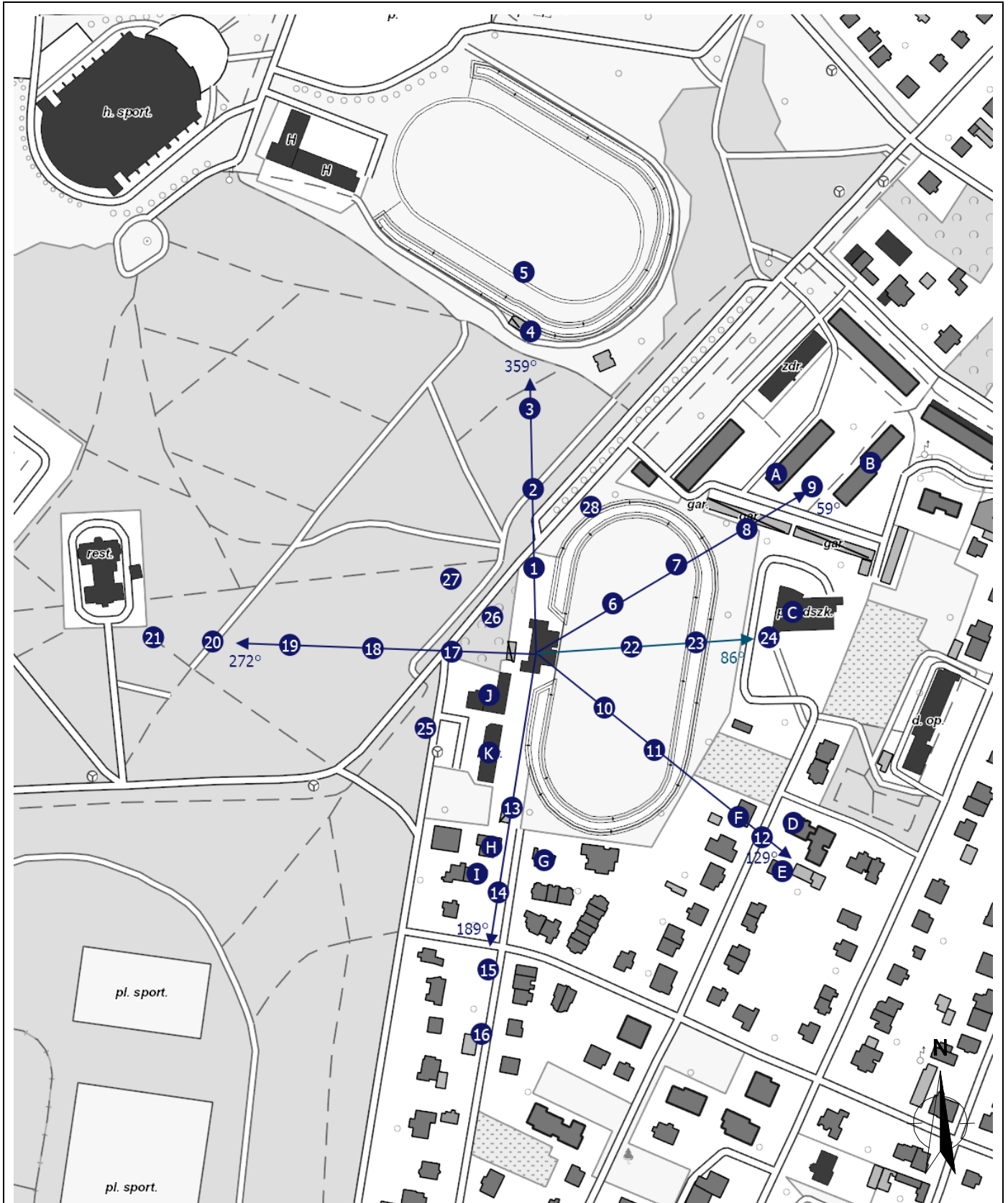
Koniec sprawozdania

Zał. 1. Lokalizacja obiektu





Współrzędne geograficzne	
długość:	20°36'50.80"E
szerokość:	50°51'10.00"N


Załącznik 2. Widok pionów pomiarowych




LEGENDA:

 inna instalacja radiokomunikacyjna

 brak dostępu

 pion pomiaru

 antena sektorowa

 antena radioliowa

Skala:

1:5000



„Bez pisemnej zgody Laboratorium niniejsze sprawozdanie nie może być powielane inaczej, jak tylko w całości. Ponadto wyniki dotyczą tylko badanych obiektów przywołanych w niniejszym sprawozdaniu z badań”

144/06/OŚ/2023-P4-W

Strona 10 z 11

Załącznik 3. Załączniki graficzne.

